

Letzte Aktualisierung der Informationen: März 2025

### Produktkonfiguration: R483.83

R483.83: Ø 212 - 3000K - CRI90 - UGR<19 - DALI - Schwarz Durchsichtig



### Produktcode

R483.83: Ø 212 - 3000K - CRI90 - UGR<19 - DALI - Schwarz Durchsichtig

### Beschreibung

Festinstallierte Rundleuchte für den Einsatz von LED-Lichtquellen mit CoB-Technologie. Version mit Falz zur aufgesetzten Installation. Reflektor aus Thermoplast mit Prismenstruktur komplett mit Lichtstromverstärker. Optik erhältlich in zwei Ausführungen: durchsichtig-weiß oder durchsichtig-schwarz. Wärmeableiter aus graulackiertem Aluminiumdruckguss. Produkt komplett mit LEDs im Farbton Warm White 3000K und Mikrofilm für einen Lichtstrom von UGR<19 L<3000 cd/qm ideal für Flächen mit Bildschirmarbeitsplätzen.

### Installation

Leichte Installation mittels Drehfedern in abgehängte Decken mit einer Stärke von 1 - 25 mm.

### Farben

Schwarz Durchsichtig (83)

### Gewicht (Kg)

1.03

### Montage

Deckenanbauleuchte

### Verkabelung

Die Leuchte wird komplett mit DALI-Komponenten ausgeliefert.

Gemäß der Normen EN60598-1 u. Sondernormen



IP20

IP54

on the visible part of the product once installed

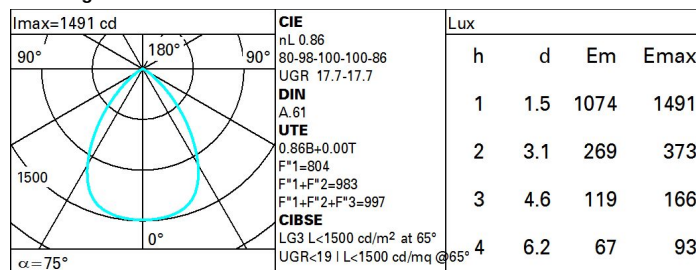


pending

### Technische Daten

|   |      |                                   |                                 |
|---|------|-----------------------------------|---------------------------------|
| Im System:  | 2150 | Farbtemperatur [K]:               | 3000                            |
| W System:   | 20.1 | MacAdam Step:                     | 2                               |
| Im Lichtquelle:   | 2500 | Lebensdauer LED 1:                | > 50,000h - L90 - B10 (Ta 25°C) |
| W Lichtquelle:  | 17   | Lampencode:                       | LED                             |
| Lichtausbeute (lm/W, Systemwert):                           | 107  | Anzahl Lampen in Leuchtengehäuse: | 1                               |
| Im im Notlichtbetrieb:                                      | -    | ZVEI-Code:                        | LED                             |
| abgegebener Lichtstrom bei/ über einem Winkel von 90° [lm]: | 0    | Anzahl Leuchtengehäuse:           | 1                               |
| Leuchtenbetriebswirkungsgrad 86 (L.O.R.) [%]:               |      | Control:                          | DALI-2                          |
| CRI (minimum):  | 90   |                                   |                                 |

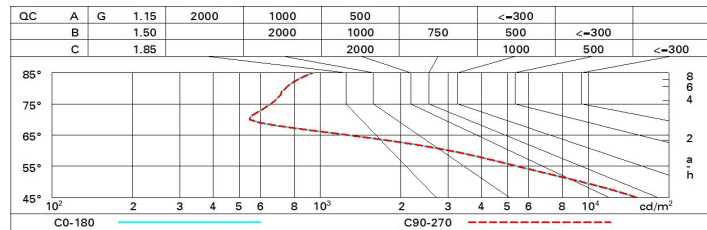
### Polardiagramm



# Wirkungsgrad

| R    | 77 | 75 | 73 | 71 | 55 | 53 | 33 | 00 | DRR |
|------|----|----|----|----|----|----|----|----|-----|
| K0.8 | 70 | 64 | 60 | 57 | 63 | 59 | 59 | 55 | 64  |
| 1.0  | 75 | 69 | 65 | 62 | 68 | 65 | 64 | 60 | 70  |
| 1.5  | 81 | 77 | 74 | 71 | 76 | 73 | 72 | 69 | 80  |
| 2.0  | 84 | 81 | 79 | 77 | 80 | 78 | 77 | 74 | 86  |
| 2.5  | 86 | 84 | 82 | 80 | 83 | 81 | 80 | 77 | 89  |
| 3.0  | 88 | 86 | 84 | 83 | 84 | 83 | 82 | 79 | 92  |
| 4.0  | 89 | 88 | 86 | 85 | 86 | 85 | 84 | 81 | 94  |
| 5.0  | 90 | 89 | 88 | 87 | 87 | 86 | 85 | 82 | 95  |

# Söller-Diagramm



# UGR-Diagramm

| Corrected UGR values (at 2500 lm bare lamp luminous flux)        |      |                     |      |      |      |      |                   |      |      |      |      |
|--|------|---------------------|------|------|------|------|-------------------|------|------|------|------|
| Reflect.:<br>ceiling/cav<br>walls<br>work pl.<br>Room dim<br>x y |      | viewed<br>crosswise |      |      |      |      | viewed<br>endwise |      |      |      |      |
|  |      | 0.70                | 0.70 | 0.50 | 0.50 | 0.30 | 0.70              | 0.70 | 0.50 | 0.50 | 0.30 |
|  |      | 0.50                | 0.30 | 0.50 | 0.30 | 0.30 | 0.50              | 0.30 | 0.50 | 0.30 | 0.30 |
|  |      | 0.20                | 0.20 | 0.20 | 0.20 | 0.20 | 0.20              | 0.20 | 0.20 | 0.20 | 0.20 |
|  |      |                     |      |      |      |      |                   |      |      |      |      |
| 2H   | 2H   | 18.1                | 18.9 | 18.4 | 19.2 | 19.4 | 18.1              | 18.9 | 18.4 | 19.2 | 19.4 |
|  | 3H   | 18.0                | 18.7 | 18.3 | 19.0 | 19.3 | 18.1              | 18.8 | 18.4 | 19.1 | 19.3 |
|  | 4H   | 18.0                | 18.6 | 18.3 | 18.9 | 19.2 | 18.0              | 18.7 | 18.3 | 19.0 | 19.3 |
|  | 6H   | 17.9                | 18.5 | 18.2 | 18.8 | 19.1 | 17.9              | 18.5 | 18.3 | 18.9 | 19.2 |
|  | 8H   | 17.9                | 18.4 | 18.2 | 18.8 | 19.1 | 17.9              | 18.5 | 18.3 | 18.8 | 19.2 |
|  | 12H  | 17.8                | 18.4 | 18.2 | 18.7 | 19.1 | 17.9              | 18.4 | 18.2 | 18.8 | 19.1 |
|  |      |                     |      |      |      |      |                   |      |      |      |      |
| 4H   | 2H   | 18.0                | 18.7 | 18.3 | 19.0 | 19.3 | 18.0              | 18.6 | 18.3 | 18.9 | 19.2 |
|  | 3H   | 17.9                | 18.4 | 18.3 | 18.8 | 19.1 | 17.9              | 18.4 | 18.3 | 18.8 | 19.1 |
|  | 4H   | 17.8                | 18.3 | 18.2 | 18.7 | 19.1 | 17.8              | 18.3 | 18.2 | 18.7 | 19.1 |
|  | 6H   | 17.7                | 18.2 | 18.2 | 18.6 | 19.0 | 17.7              | 18.2 | 18.2 | 18.6 | 19.0 |
|  | 8H   | 17.7                | 18.1 | 18.2 | 18.5 | 19.0 | 17.7              | 18.1 | 18.1 | 18.5 | 18.9 |
|  | 12H  | 17.7                | 18.0 | 18.1 | 18.5 | 18.9 | 17.6              | 18.0 | 18.1 | 18.4 | 18.9 |
|  |      |                     |      |      |      |      |                   |      |      |      |      |
| 8H   | 4H   | 17.7                | 18.1 | 18.1 | 18.5 | 18.9 | 17.7              | 18.1 | 18.2 | 18.5 | 19.0 |
|  | 6H   | 17.6                | 18.0 | 18.1 | 18.4 | 18.9 | 17.6              | 18.0 | 18.1 | 18.4 | 18.9 |
|  | 8H   | 17.6                | 17.9 | 18.1 | 18.3 | 18.8 | 17.6              | 17.9 | 18.1 | 18.3 | 18.8 |
|  | 12H  | 17.6                | 17.8 | 18.1 | 18.3 | 18.8 | 17.6              | 17.8 | 18.1 | 18.3 | 18.8 |
|  |      |                     |      |      |      |      |                   |      |      |      |      |
| 12H  | 4H   | 17.6                | 18.0 | 18.1 | 18.4 | 18.9 | 17.7              | 18.0 | 18.1 | 18.5 | 18.9 |
|  | 6H   | 17.6                | 17.9 | 18.1 | 18.3 | 18.8 | 17.6              | 17.9 | 18.1 | 18.4 | 18.9 |
|  | 8H   | 17.6                | 17.8 | 18.1 | 18.3 | 18.8 | 17.6              | 17.8 | 18.1 | 18.3 | 18.8 |
|  |      |                     |      |      |      |      |                   |      |      |      |      |
| Variations with the observer position at spacing:                |      |                     |      |      |      |      |                   |      |      |      |      |
| S =  | 1.0H | 1.8 / -4.0          |      |      |      |      | 1.8 / -4.0        |      |      |      |      |
|  | 1.5H | 3.6 / -7.9          |      |      |      |      | 3.6 / -7.9        |      |      |      |      |
|  | 2.0H | 5.5 / -10.9         |      |      |      |      | 5.5 / -10.9       |      |      |      |      |